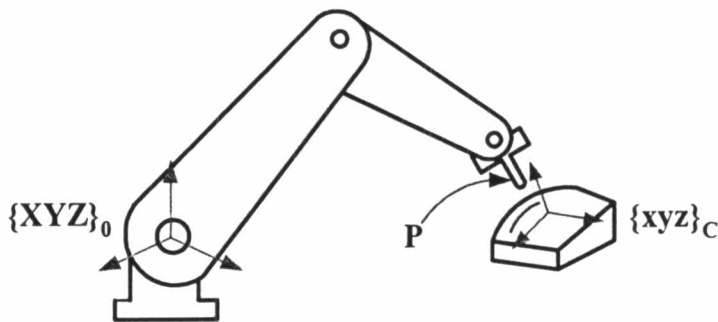


บทที่ 3

การออกแบบตัวควบคุมตำแหน่งและแรงของแขนกล

3.1 การควบคุมแรงที่แขนกลกระทำต่อวัตถุแวดล้อม

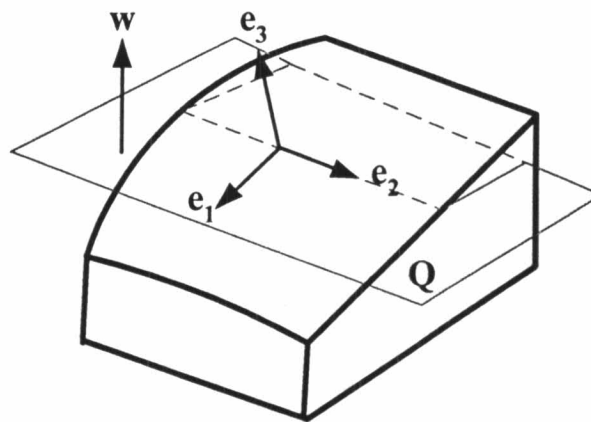
ในการพิจารณาถึงการควบคุมแรงนั้นต้องทำความเข้าใจถึงการบอกพิกัดเทียบกับกรอบพิกัดต่างๆของหุ่นยนต์และของวัตถุซึ่งแสดงในรูปที่ 3.1



รูปที่ 3.1 การกำหนดกรอบพิกัดอ้างอิงของแขนกลและกรอบพิกัดบนวัตถุ

จากรูปที่ 3.1 กรอบอ้างอิง $\{XYZ\}_0$ เป็นกรอบอ้างอิงตำแหน่งของจุดปลายแขนกลหรือจุด P กับจุดที่หยุดนิ่ง (Fixed reference frame) ในขณะที่กรอบ $\{xyz\}_c$ เป็นกรอบอ้างอิงตำแหน่งที่ติดกับวัตถุซึ่งจะเปลี่ยนแปลงไปเรื่อยๆตามตำแหน่งที่ปลายแขนกลกระทำต่อวัตถุเรียกว่า Compliance frame [ไพรัช 2540 และ วิบูลย์ 2543] ในแต่ละแกนในกรอบอ้างอิงจะสามารถควบคุมเพียงตำแหน่งหรือทิศทางอย่างใดอย่างหนึ่งเท่านั้น กล่าวคือเมื่อพิจารณาแขนกลดังในรูปที่ 3.1 จำนวนองศาอิสระในการควบคุมตำแหน่งและทิศทางที่จุด P ให้เคลื่อนที่อย่างอิสระในระนาบที่ (space) คือหก องศาอิสระ สำหรับกรณีนี้องศาอิสระในการควบคุมแรงและแรงบิดคือศูนย์ แต่หากจุด P สัมผัสกับวัตถุ ทิศทางการเคลื่อนที่ของจุด P ถูกบังคับให้อยู่ในระนาบ xy_c ซึ่งตั้งฉากกับ z_c ในขณะที่ยังองศาอิสระในการควบคุมแรงอยู่ในทิศทาง z_c แต่หากจุด P ยึดติดแน่นกับวัตถุพบว่าองศาอิสระในการควบคุมแรงเป็นสาม และองศาอิสระในการควบคุมแรงบิดเป็นสามรวมทั้งสิ้นหกองศาอิสระ เห็นได้ว่าองศาอิสระในการควบคุมทั้งแรงและทิศทางแบ่งเป็นสองประเภทคือเงื่อนไขบังคับโดยธรรมชาติซึ่งเกิดจากพื้นผิวของวัตถุซึ่งบังคับการเคลื่อนที่ในทิศทาง z_c และหากละเว้นแรงเสียดทานจะเกิดเงื่อนไขบังคับโดยธรรมชาติในระนาบ xy_c และเงื่อนไขบังคับอีกประเภทคือเงื่อนไขบังคับที่กำหนดขึ้นมาเองได้แก่การเคลื่อนที่ตามพื้นผิวของวัตถุและการควบคุมแรงในทิศตั้งฉากกับพื้นผิววัตถุ

หากทราบขนาดและทิศทางของแรงที่ปลายแขนกลกระทำต่อวัตถุโดยใช้ตัวตรวจรู้แรงจะสามารถนำข้อมูลนี้มาคำนวณหาทิศทางที่จะควบคุมแรงและตำแหน่งได้ดังรูปที่ 3.2



รูปที่ 3.2 ทิศทางที่จะควบคุมแรงและตำแหน่ง

จากรูปที่ 3.2 จุดประสงค์คือต้องการให้แขนกลเคลื่อนที่ไปบนระนาบ Q โดยที่ควบคุมแรงในทิศตั้งฉากกับผิววัตถุ ชั้นแรกจะวัดแรงจากอุปกรณ์ตรวจรู้แรงที่ปลายแขนกล หลังจากนั้นจะหาทิศทางที่ตั้งฉากกับผิวชิ้นงานจาก

$$e_3 = \frac{f}{\|f\|} \quad (3.1)$$

โดยที่ f แทนแรงที่แขนกลสัมผัสกับวัตถุเวดล้อม และ e_3 แทนเวกเตอร์หนึ่งหน่วยซึ่งมีทิศเดียวกับแรงที่แขนกลสัมผัสกับวัตถุเวดล้อม หลังจากนั้นจะหาทิศทางที่ต้องการให้แขนกลเคลื่อนที่จาก

$$e_2 = \frac{w \times e_3}{\|w \times e_3\|} \quad (3.2)$$

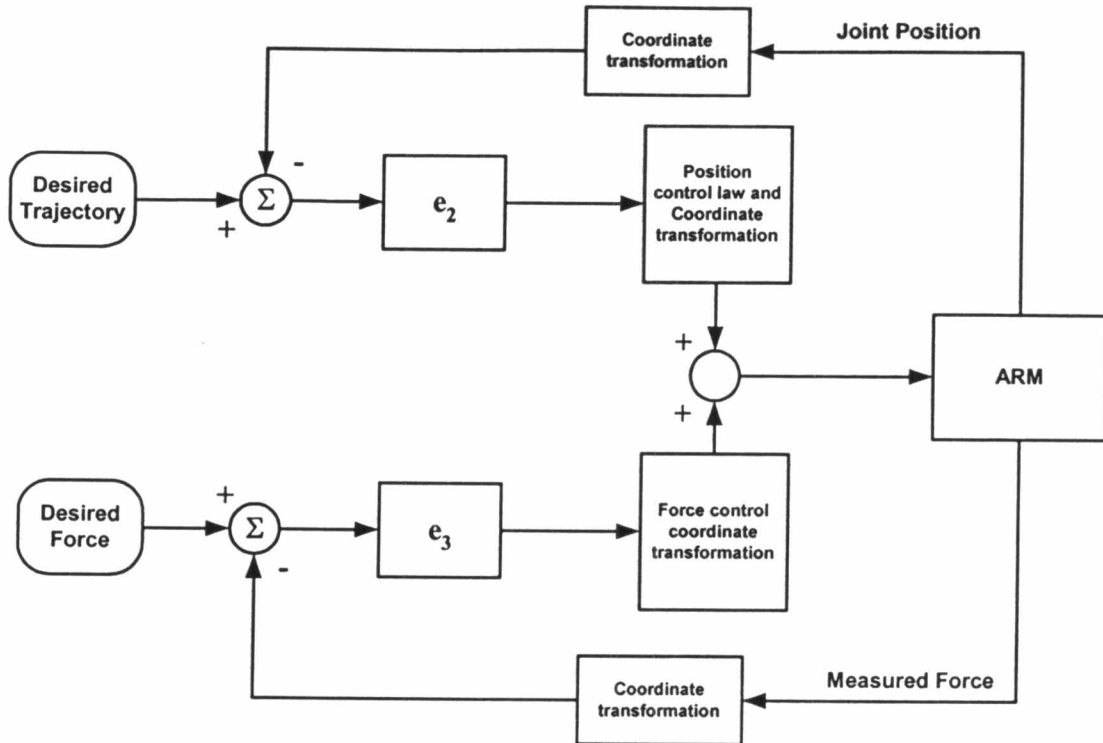
โดยที่ w แทนเวกเตอร์หนึ่งหน่วยซึ่งมีทิศตั้งฉากกับระนาบ Q ส่วน e_2 แทนเวกเตอร์หนึ่งหน่วยซึ่งแสดงถึงทิศทางที่ต้องการให้แขนกลเคลื่อนที่ สำหรับแกนสุดท้ายหาได้จาก

$$e_1 = \frac{e_2 \times e_3}{\|e_2 \times e_3\|} \quad (3.3)$$

โดยที่ e_1 แทนเวกเตอร์หนึ่งหน่วยที่มีทิศตั้งฉากกับระนาบ Q

3.1.1 การควบคุมแรงโดยตรงหรือแบบเอกซ์พลิซิที (Explicit Force Control)

Raibert [1981] ได้เสนอการควบคุมแรงโดยตรงโดยมีทิศทาง การควบคุมตำแหน่งและแรงซึ่งสามารถนำมาประยุกต์ใช้ดังแสดงในรูปที่ 3.3



รูปที่ 3.3 แผนภาพบล็อกการควบคุมตำแหน่งและแรงของแขนกล

จากรูปที่ 3.3 การควบคุมระบบประกอบด้วยวงรอบการควบคุมตำแหน่งในทิศทาง e_1 ดังในรูปที่ 3.2 และวงรอบการควบคุมแรงในทิศทางที่ตั้งฉากกับ e_1 ในวงรอบการควบคุมตำแหน่งอาศัยตัววัดตำแหน่งข้อต่อของแขนกลมาแปลงเป็นเส้นทางการเคลื่อนที่ของตำแหน่งปลาย (Trajectory) นำมาเปรียบเทียบกับเส้นทางที่ต้องการแล้วส่งไปยังตัวเลือกทิศทาง ในที่นี้คือทิศทาง e_1 ไปสู่ตัวควบคุมตำแหน่ง ส่วนการควบคุมแรงก็เช่นเดียวกัน โดยอาศัยการวัดแรงจากอุปกรณ์ตรวจรู้แรง นำค่าของแรงที่ได้มาเปรียบเทียบกับแรงที่ต้องการได้ค่าผิดพลาดของแรงส่งไปยังตัวเลือกทิศทางซึ่งกรณีนี้คือทิศทางของ e_3 แล้วจึงผ่านไปยังตัวควบคุมแรงเพื่อให้ได้สัญญาณควบคุมซึ่งนำไปรวมกับสัญญาณควบคุมที่ได้จากตัวควบคุมตำแหน่ง แล้วจึงส่งสัญญาณควบคุมนี้ไปยังแขนกลเป็นขั้นตอนสุดท้าย หากใช้ตัวควบคุมแรงแบบพีไอดีเพื่อควบคุมแรงโดยตรงสัญญาณควบคุมที่ส่งไปยังตัวขับเคลื่อนจะอยู่ในรูปดังนี้

$$u(s) = \left(K_p + \frac{K_I}{s} \right) (F - F_d) \quad (3.4)$$

3.1.2 การควบคุมแรงโดยอ้อมหรือแบบอิมพลีซิท (Implicit Force Control)

จากหัวข้อที่ 3.1.2 พบว่าการควบคุมแรงโดยตรงจะให้ผลตอบสนองที่เร็ว กล่าวคือความแตกต่างระหว่างแรงที่ต้องการกับแรงที่วัดได้จริงจะเป็นสัญญาณป้อนสู่ตัวควบคุมแรงและทำให้ได้สัญญาณควบคุมส่งไปยังแขนกล แต่ในทางปฏิบัติกระทำได้ยากเนื่องจากสัญญาณรบกวนจากตัววัดแรงมี

มากทำให้การควบคุมทำได้ยาก ความไม่แน่นอนของแรงที่วัดได้มีผลต่อเสถียรภาพของระบบควบคุม ในการควบคุมแรงโดยอ้อมจะพยายามหาความสัมพันธ์ระหว่างแรงกับตัวแปรอื่นและควบคุมตัวแปรดังกล่าวแทนเช่นควบคุมแรงโดยควบคุมตำแหน่งจากแรงที่ต้องการให้แขนกลกดสามารถนำมาหาค่าตำแหน่งจาก [Jung, 1995]

$$\begin{aligned}x_d &= x_e + \frac{f_d}{k_d}; f_e = 0 \\x_d &= x_e + f_d \frac{k_d(x - x_e) + f_e}{k_d f_e}; f_e \neq 0\end{aligned}\quad (3.5)$$

โดยที่ x_e : ตำแหน่งของวัตถุแวดล้อม
 f_d : แรงที่ต้องการให้แขนกลกด
 k_d : ค่าความแข็งคิงของวัตถุ

ขั้นต่อไปคำนวณหา input ที่ต้องกระทำที่ข้อต่อขับของแขนกลเพื่อให้เกิดการเคลื่อนที่ที่จุดปลายของแขนกลตามต้องการซึ่ง input นี้ขึ้นอยู่กับสมการพลวัตของแขนกล

การวิเคราะห์สมการพลวัตของแขนกลมีหลายวิธีทั้งแขนกลแบบอนุกรมและแบบขนาน เช่น Newton-Euler Formulation งานเสมือน (Virtual Work) และ Lagrangian Formulation [Creig, 1989 และ Tsai, 1999] ในกรณีของแขนกลที่เสนอในงานวิจัยนี้ผู้วิจัยจะนำวิธีงานเสมือนมาวิเคราะห์สมการพลวัตของแขนกลดังนี้
 พิจารณาหลักของงานเสมือนในรูปแบบอย่างง่ายโดยไม่คิดพลังงานศักย์จากสปริงจากสมการที่ (3.6) [Meriam, 2004 และ Tsai, 1999]

$$\delta U' = \sum m_i \cdot \dot{v} \cdot \delta x_i + \sum (\bar{I}_i \cdot \dot{\omega}_i + \omega_i \times \bar{I}_i \cdot \omega_i) \delta \theta_i - \sum m_i g \cdot \delta x_i \quad (3.6)$$

โดยที่ U' : งานเสมือนจากแรงภายนอกระบบ
 m_i : มวลของข้อต่อแต่ละข้อต่อ
 \dot{v} : ความเร่งที่จุดศูนย์กลางมวลของข้อต่อ
 x_i : การเคลื่อนตำแหน่งที่จุดศูนย์กลางมวลแต่ละข้อต่อ
 \bar{I}_i : เมตริกซ์โมเมนต์ความเฉื่อยของข้อต่อเทียบกับจุดศูนย์กลาง
 ω_i : ความเร็วเชิงมุมของข้อต่อ
 θ_i : การหมุนของข้อต่อ
 δ : การเคลื่อนที่เสมือน

พิจารณางานจากแรงภายนอกที่กระทำต่อข้อต่อขับของแขนกล

$$\delta U' = \delta \mathbf{q}^T \boldsymbol{\tau}$$

แรงลัพธ์รวมกับความเฉื่อยของ Platform สำหรับหองศาอิสระเขียนได้ดังนี้

$$\hat{\mathbf{F}}_p = \left[\begin{array}{c} m_p \mathbf{g} - m_p \dot{\mathbf{v}}_p \\ \bar{\mathbf{I}}_p \cdot \dot{\boldsymbol{\omega}}_p + \boldsymbol{\omega}_p \times (\bar{\mathbf{I}}_p \cdot \boldsymbol{\omega}_p) \end{array} \right]$$

ในกรณีแกนกลที่เสนอนี้มีองศาอิสระ Resultant ที่ platform ลดรูปเป็น vector 4x1 ดังนี้

$$\hat{\mathbf{F}}_p = \left[\begin{array}{c} m_p \mathbf{g} - m_p \dot{\mathbf{v}}_p \\ I_p \cdot \dot{\boldsymbol{\omega}}_p + (I_p \cdot \boldsymbol{\omega}_p^2) \end{array} \right] \quad (3.7)$$

หากละทิ้งผลจากความเฉื่อยของข้อต่อจะเหลือเพียงความเฉื่อยของตัวเลื่อนที่ข้อต่อจับ

$$\hat{\mathbf{f}} = [m_i \dot{\mathbf{v}}_i]; i = 1 - 4 \quad (3.8)$$

รวมทั้งหมดเขียนเป็นสมการพลวัตของแกนกลดังนี้

$$\delta \mathbf{q}^T \boldsymbol{\tau} + \delta \mathbf{x}_p^T \hat{\mathbf{F}}_p + \delta \mathbf{q}^T \hat{\mathbf{f}} = 0 \quad (3.9)$$

โดยที่

\mathbf{q} : การเคลื่อนที่ของข้อต่อจับ

$\boldsymbol{\tau}$: แรงกระทำต่อข้อต่อจับ

$\hat{\mathbf{f}}$: Resultant ที่เกิดจากแรงลัพธ์และความเฉื่อยที่กระทำต่อข้อต่อจับ

\mathbf{x}_p : การเคลื่อนที่และการหมุนของ Platform

$\hat{\mathbf{F}}_p$: Resultant ที่เกิดจากแรงลัพธ์และความเฉื่อยที่กระทำต่อ platform

โดยทั่วไปการควบคุมแรงโดยอ้อมจะแปลงแรงกดให้กลายเป็นตำแหน่ง การควบคุมตำแหน่งเมื่อเทียบกับการควบคุมแรงมีลักษณะเป็นตัวกรองผ่านต่ำ (Low pass filter) ทำให้มีความเสถียรภาพสูงกว่าการควบคุมแรงโดยตรง [บวร 2543]

กล่าวโดยสรุปคือ งานวิจัยนี้จะใช้วิธีการควบคุมแรงโดยอ้อมเพื่อหาความสัมพันธ์ของแรงกดกับระยะยุบตัว และนำระยะดังกล่าวมาเป็นคำสั่งป้อนไปยังตัวควบคุมตำแหน่งของแกนกลให้เคลื่อนที่ไปยังตำแหน่งที่จะทำให้ได้แรงกดต่อวัตถุเวดล้อมตามต้องการ

3.2 การคำนวณระยะยุบตัวของแกนกลเพื่อใช้ในการควบคุมแรง

หากพิจารณาระบบทั้งหมดพบว่าความแข็งแรงของหุ่นยนต์โดยรวมแล้วน้อยกว่าความความแข็งแรงที่แท้จริงของวัตถุเวดล้อม โดยเฉพาะวัตถุที่ยุบตัวได้น้อยมากเช่น โลหะแข็ง ดังนั้นหากทราบขนาดและทิศทางของความแข็งแรงของหุ่นยนต์ก็จะสามารถคำนวณระยะการยุบตัวเสมือนที่ปลายแกนกลที่จะทำให้เกิดแรงกดที่ปลายแกนหุ่นยนต์ต่อวัตถุเวดล้อมที่ต้องการได้

จาก
$$\mathbf{F} = \mathbf{J}^T \mathbf{k} \mathbf{J} \Delta \mathbf{x} \quad (2.21)$$

เมื่อทราบทิศทางของแรงกระทำต่อวัตถุแวดล้อมแล้วต้องการหาทิศทางการยุบตัวของแขนกลต้องแปลงสมการ 2.21 ให้อยู่ในรูป

$$\Lambda \mathbf{F} = \Delta \mathbf{x} \quad (3.10)$$

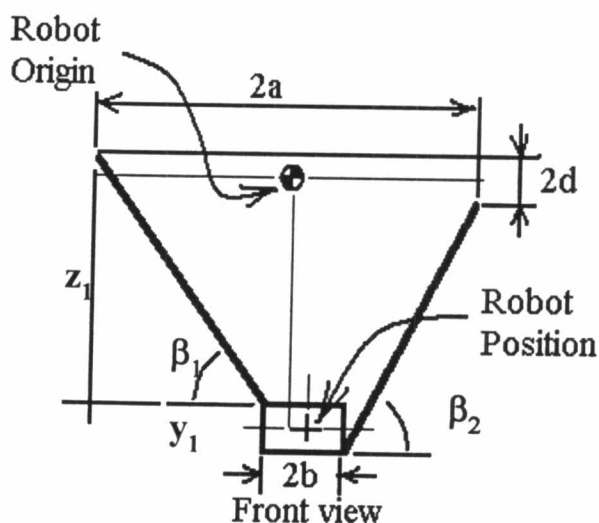
โดยที่
$$\Lambda = \mathbf{J}^{-1} \mathbf{k}^{-1} (\mathbf{J}^T)^{-1}$$

เมตริกซ์ Λ เรียกว่า Compliance matrix เป็นส่วนกลับของเมตริกซ์ความแข็งแกร่ง

จาก Thompson [1997] และ Tsai [1999] สามารถหาสมาชิกแต่ละตัวของ Compliance matrix โดยหาสมาชิกแต่ละตัวของส่วนกลับของ Jacobian matrix ก่อนโดยใช้วิธี Free-body diagram เมื่อพิจารณาความสัมพันธ์ 2.25 สมาชิกแต่ละตัวของเมตริกซ์ $(\mathbf{J}^T)^{-1}$ หาได้โดยกำหนดให้มีแรงกระทำขนาดหนึ่งหน่วยในทิศทาง x y z และ θ แล้วหาการเคลื่อนที่ที่เกิดขึ้นที่ข้อต่อข้อแต่ละข้อดังนี้

$$(\mathbf{J}^T)^{-1} = \begin{bmatrix} \tau_{11} & \tau_{21} & \cdots & \tau_{n1} \\ \tau_{12} & \ddots & & \tau_{n2} \\ \vdots & & \ddots & \vdots \\ \tau_{1n} & \cdots & \cdots & \tau_{nn} \end{bmatrix}$$

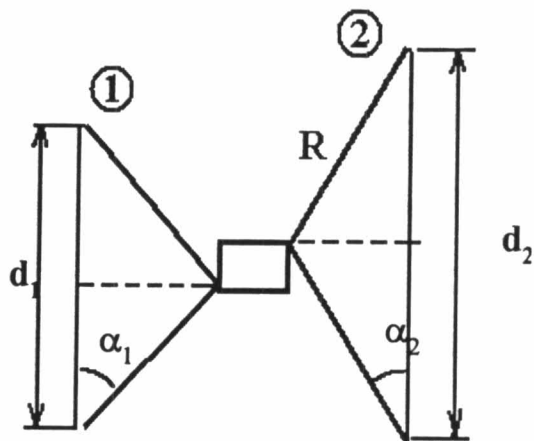
โดยที่ τ_{ij} เป็นระยะเคลื่อนตัวข้อต่อข้อ j เมื่อมีแรงหนึ่งหน่วยกระทำในทิศทางขององศาอิสระที่ i พิจารณาการกำหนดตัวแปรของแขนกลดังรูปที่ 3.4(1) และ 3.4(2)



(1)

รูปที่ 3.4 การกำหนดตัวแปรบอกตำแหน่งของแขนกลให้เหมาะสมเพื่อหาสมาชิกของ

Compliance matrix

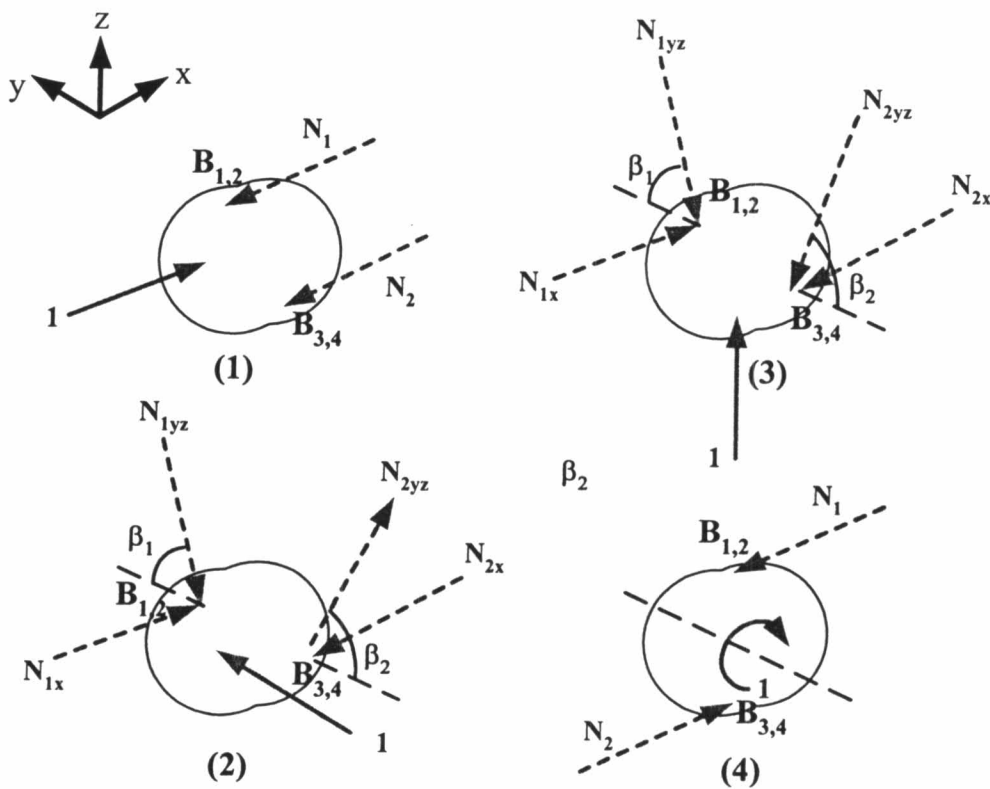


Top view

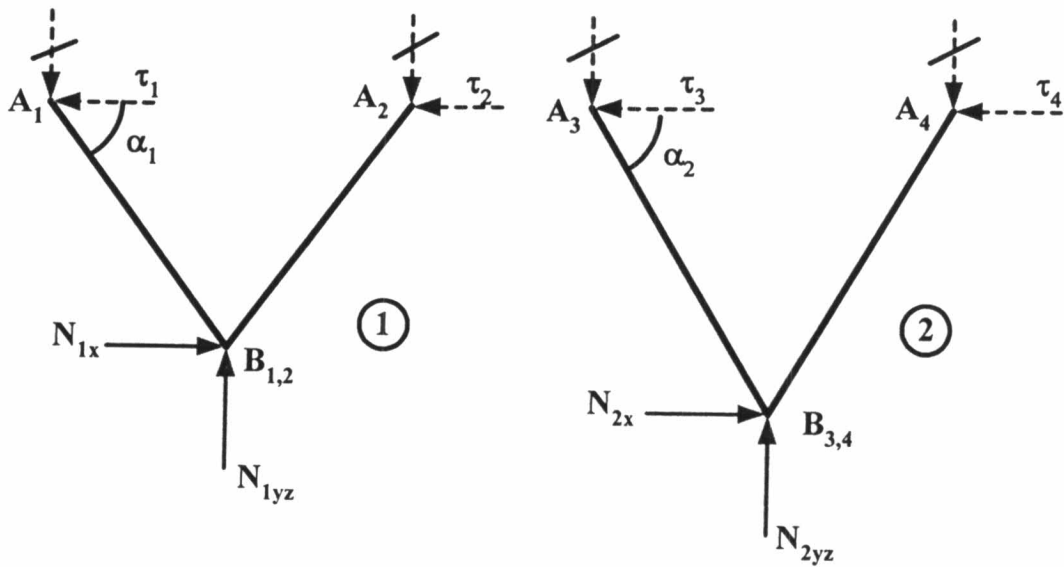
(2)

รูปที่ 3.4 (ต่อ) การกำหนดตัวแปรบอกตำแหน่งของแกนกลให้เหมาะสมเพื่อหาสมาชิกของ Compliance matrix

กำหนดแรงหนึ่งหน่วยกระทำในทิศทาง +x ดังรูปที่ 3.5(1) จะได้แรงกระทำที่ข้อต่อจับแต่ละข้อต่อ เป็น $\tau_{11}, \tau_{12}, \tau_{13}$ และ τ_{14} ดังในรูปที่ 3.6



รูปที่ 3.5 Free-body diagram ของแกนกล โดยมีแรงหนึ่งหน่วยกระทำในทิศต่างๆ



รูปที่ 3.6 Free-body diagram ของแรงที่ข้อต่อข้อต่อแต่ละข้อต่อ

ในกรณีนี้พิจารณาให้การวางตัวของแกนกลสามารถรับ โมเมนต์ในแกน x และ z ได้ ดังนั้นเงื่อนไขในการแก้สมการสถิตยศาสตร์ที่ต้องการจึงมีเพียง

$$\sum F_x = 0, \sum F_y = 0, \sum F_z = 0 \text{ and } \sum M_y = 0$$

จากรูปที่ 3.5 และ 3.6(1) เมื่อมีแรงกระทำต่อตัว Platform จะทำให้เกิดแรงปฏิกิริยาที่ข้อต่อหมุนทั้งสองด้านของ platform ซึ่งแรงปฏิกิริยารวมทั้งสองนี้จะต้องวางอยู่ในระนาบ $A_1A_2B_{1,2}$ และ $A_3A_4B_{3,4}$ ตามลำดับเนื่องจากกำหนดให้ข้อต่อขา AB เป็น two-force member จะได้แรงกระทำที่ข้อต่อข้อต่อที่เกิดจากแรงหนึ่งหน่วยกระทำในแกน $+x$ คือ

$$\tau_{11} = \tau_{12} = \tau_{13} = \tau_{14} = \frac{1}{4} \quad (3.11)$$

เห็นได้ว่าข้อต่อข้อต่อแบบ Prismatic นั้น แรงที่มีผลต่อข้อต่อข้อต่อจะอยู่นทิศทางเดียวกับแนวการเคลื่อนที่ของข้อต่อข้อต่อ ในขณะที่แรงในทิศตั้งฉากกับการเคลื่อนที่ของข้อต่อข้อต่อจะไม่มีผลแต่อย่างใด ในทำนองเดียวกันหากแรงหนึ่งหน่วยกระทำในแนว $+y$ ดังรูปที่ 3.5(2) แนว $+z$ ดังรูปที่ 3.5(3) และ $+\theta$ ดังในรูปที่ 3.5(4) และอาศัย Free-body diagram ดังรูปที่ 3.6 จะได้สมาชิกของเมตริกซ์ J^{-1} ดังนี้

$$\tau_{21} = \frac{\sin \beta_2}{2 \sin(\beta_1 + \beta_2) \cdot \tan \alpha_1} + \frac{\sin \beta_1 \cdot \sin \beta_2}{2 \sin(\beta_1 + \beta_2)} \tan \theta$$

$$\tau_{22} = -\frac{\sin \beta_2}{2 \sin(\beta_1 + \beta_2) \cdot \tan \alpha_1} + \frac{\sin \beta_1 \cdot \sin \beta_2}{2 \sin(\beta_1 + \beta_2)} \tan \theta$$

$$\begin{aligned}\tau_{23} &= -\frac{\sin \beta_1}{2 \sin(\beta_1 + \beta_2) \cdot \tan \alpha_2} - \frac{\sin \beta_1 \cdot \sin \beta_2}{2 \sin(\beta_1 + \beta_2)} \tan \theta \\ \tau_{24} &= \frac{\sin \beta_1}{2 \sin(\beta_1 + \beta_2) \cdot \tan \alpha_2} - \frac{\sin \beta_1 \cdot \sin \beta_2}{2 \sin(\beta_1 + \beta_2)} \tan \theta\end{aligned}\quad (3.12)$$

$$\begin{aligned}\tau_{31} &= \frac{\cos \beta_2}{2 \sin(\beta_1 + \beta_2) \cdot \tan \alpha_1} + \frac{\sin(\beta_1 - \beta_2)}{4 \sin(\beta_1 + \beta_2)} \tan \theta \\ \tau_{32} &= -\frac{\cos \beta_2}{2 \sin(\beta_1 + \beta_2) \cdot \tan \alpha_1} + \frac{\sin(\beta_1 - \beta_2)}{4 \sin(\beta_1 + \beta_2)} \tan \theta \\ \tau_{33} &= \frac{\cos \beta_1}{2 \sin(\beta_1 + \beta_2) \cdot \tan \alpha_2} - \frac{\sin(\beta_1 - \beta_2)}{4 \sin(\beta_1 + \beta_2)} \tan \theta \\ \tau_{34} &= -\frac{\cos \beta_1}{2 \sin(\beta_1 + \beta_2) \cdot \tan \alpha_2} - \frac{\sin(\beta_1 - \beta_2)}{4 \sin(\beta_1 + \beta_2)} \tan \theta\end{aligned}\quad (3.13)$$

และ

$$\begin{aligned}\tau_{41} = \tau_{42} &= -\frac{1}{4c \cdot \cos \theta} \\ \tau_{43} = \tau_{44} &= \frac{1}{4c \cdot \cos \theta}\end{aligned}\quad (3.14)$$

ดังนั้น Compliance matrix จึงอยู่ในรูป

$$\begin{aligned}\Lambda(\mathbf{x}) &= \mathbf{J}^{-1} \mathbf{k}^{-1} (\mathbf{J}^T)^{-1} \\ &= \frac{1}{k} \begin{bmatrix} \tau_{11} & \tau_{12} & \tau_{13} & \tau_{14} \\ \tau_{21} & \tau_{22} & \tau_{23} & \tau_{24} \\ \tau_{31} & \tau_{32} & \tau_{33} & \tau_{34} \\ \tau_{41} & \tau_{42} & \tau_{43} & \tau_{44} \end{bmatrix} \bullet \begin{bmatrix} \tau_{11} & \tau_{21} & \tau_{31} & \tau_{41} \\ \tau_{12} & \tau_{22} & \tau_{32} & \tau_{42} \\ \tau_{13} & \tau_{23} & \tau_{33} & \tau_{43} \\ \tau_{14} & \tau_{24} & \tau_{34} & \tau_{44} \end{bmatrix}\end{aligned}\quad (3.15)$$

โดยที่ค่าความแข็งตึงของข้อต่อข้อต่อเท่ากัน มีค่า k ทั้งนี้สมาชิกแต่ละตัวของเมตริกซ์ได้แสดงอย่างละเอียดในภาคผนวก ข

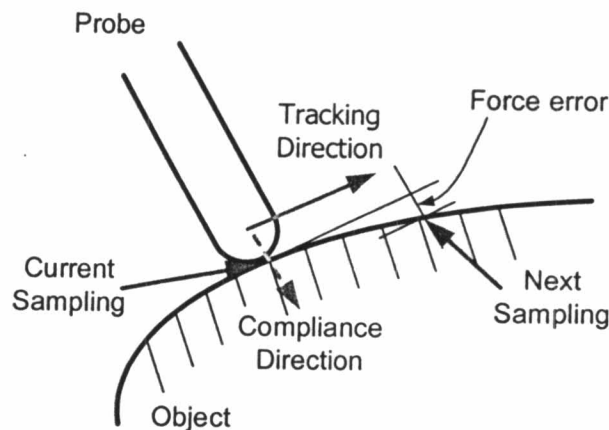
จากสมการที่ 3.11 ถึง 3.15 พบว่ามีความสอดคล้องกับเงื่อนไขซิงกูลาริตีส์ (2.24) กล่าวคือแขนกลจะเข้าสู่ซิงกูลาริตีส์เมื่อมุม Platform(θ) เป็น 90 องศา มุม $(\beta_1 + \beta_2)$ เป็น 0 หรือ 180 องศา และมุม α_1 หรือ α_2 เป็น 0 หรือ 90 องศา

ประยุกต์ใช้ความสัมพันธ์ 3.5 และเมตริกซ์ 3.15 เพื่อควบคุมให้ค่าผิดพลาดของแรงกดเป็นศูนย์ ดังนั้นจากค่าผิดพลาดของแรงกดซึ่งได้จากการเปรียบเทียบขนาดของแรงที่ต้องการกับแรงที่วัดได้จากตัวตรวจรู้แรง นำค่าผิดพลาดที่ได้คูณกับ Compliance matrix เพื่อให้ได้ทิศทางการยุบตัวของแขนกลที่น่าจะทำให้ได้แรงกดใกล้เคียงกับแรงกดที่ต้องการมากขึ้น ตัวควบคุมแรงในแต่ละแกนจะอยู่ในรูป

$$x[i]_k = x[i]_{k-1} + K_{Jf}[i] \cdot (F_d - F) \cdot \frac{\Delta x[i]}{\|\Delta x\|} \quad (3.16)$$

โดยที่ i มีค่าตั้งแต่ 1 ถึง 4 แทนแกน $x y z$ และ θ ตามลำดับ

ลักษณะพื้นผิวของวัตถุจะเปลี่ยนแปลงไปเรื่อยๆ ดังนั้นทิศทางและขนาดของแรงกดที่วัดได้จะเปลี่ยนแปลงตลอดเวลาดังแสดงในรูปที่ 3.7 ตัวควบคุมแบบ 3.16 มีลักษณะเป็นตัว Integrator กล่าวคือ ตำแหน่งที่ต้องการให้แขนกลเคลื่อนที่ไปในขณะปัจจุบันหรือ $x[i]_k$ จะมีค่าสะสมมาจากค่าตำแหน่งในอดีตย้อนไปหนึ่งตัวอย่างหรือ $x[i]_{k-1}$ กับค่ายวบตัวของปลายแขนกลที่คำนวณได้ขณะนั้น โดยที่อัตราการลู่เข้าจะขึ้นกับค่าเกน K_{Jf} คุณสมบัติของตัว Integrator นี้จะให้ความผิดพลาดของแรงเป็นศูนย์ได้



รูปที่ 3.7 ความผิดพลาดของแรงในการควบคุมแรงกดบนวัตถุที่มีพื้นผิวไม่แน่นอน

ค่าเกน K_{Jf} ที่เลือกใช้ในแต่ละแกนขึ้นอยู่กับความแข็งแกร่งของเกนนั้นๆ ดังที่กล่าวมาแล้วในบทที่สอง ความแข็งแกร่งขึ้นอยู่กับปัจจัยเช่นรูปแบบของแขนกล วัสดุที่ใช้ และคุณภาพในการสร้าง ค่าที่เลือกใช้ได้แก่ $[0.0012, 0.0027, 0.0007, 1e-6]$ ซึ่งได้จากการทดลอง

3.3 การควบคุมตำแหน่งของแขนกล

จากความสัมพันธ์ 3.9 การควบคุมตำแหน่งของแขนกลจะใช้ตัวควบคุมแบบพีไอ ดังสมการที่ 3.17

$$u[i] = K_P[i](e_p)_k + K_D[i]((e_p)_k - (e_p)_{k-1}) + K_I \sum_{j=1}^k (e_p)_j \quad (3.17)$$

โดยที่

- e_p : ความผิดพลาดของตำแหน่งของข้อต่อจับ
- K_P : Proportional gain
- K_D : Derivative gain

K_I : Integral gain

นอกจากการควบคุมตำแหน่งแล้ว การควบคุมการเคลื่อนที่ของแขนกลให้ได้ความเร็วที่ต้องการทำได้โดยการส่งคำสั่งควบคุมตำแหน่งในแต่ละครั้งของการสุ่มตัวอย่างให้เหมาะสม ดังสมการที่ 3.18

$$x[i]_k = x[i]_{k-1} + dx[i] \tag{3.18}$$

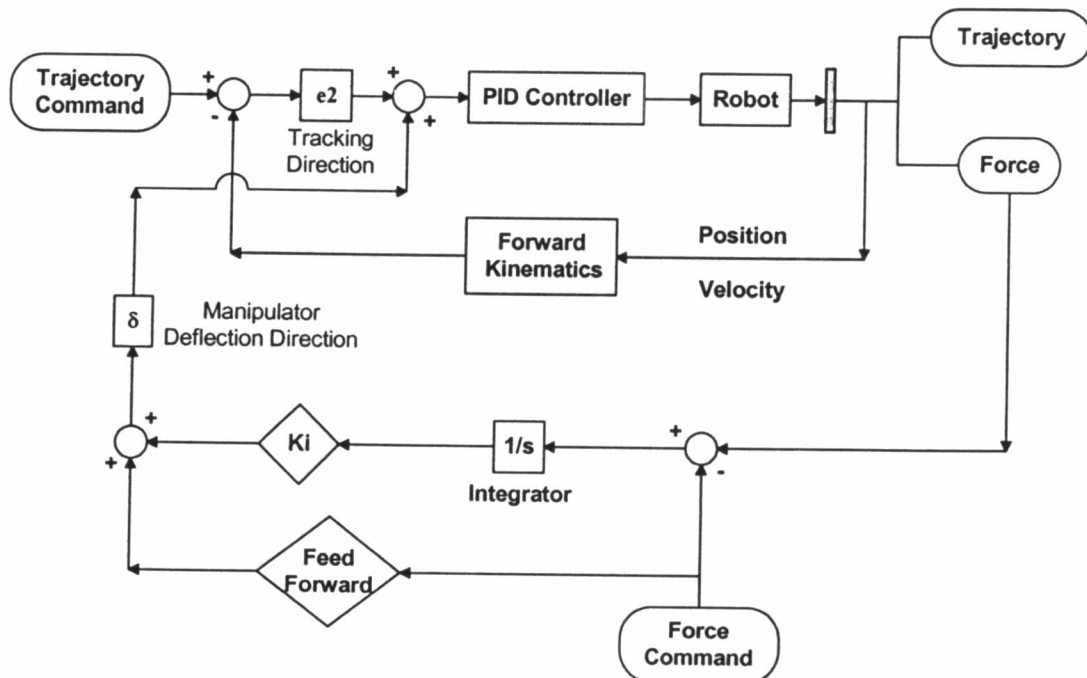
โดยที่ $dx[i]$ คำนวณจาก

$$dx[i] = Feed * u[i] dT$$

- โดยที่
- $Feed$: ความเร็วในการเคลื่อนที่หน่วยเป็น มิลลิเมตรต่อวินาที
 - $u[i]$: Component ในทิศทาง i ของเวกเตอร์หนึ่งหน่วยในทิศทางที่จะให้แขนกลเคลื่อนที่
 - dT : อัตราสุ่มตัวอย่าง (Sampling rate) โดยทั่วไปมีค่าตั้งแต่ 0.01 ถึง 0.001 วินาที

หากส่งคำสั่งตำแหน่งดังสมการ 3.18 ทุกๆรอบสุ่มตัวอย่างจะทำให้แขนกลเคลื่อนที่ด้วยอัตราเร็วเท่ากับค่า $Feed$ นอกจากนี้รายละเอียดในการสร้างเส้นทางเคลื่อนที่ของแขนกลให้ได้ Profile ความเร็วและความเร่งที่ต้องการ โปรดดูใน Craig [1989]

เมื่อรวมตัวควบคุมตำแหน่งและแรงเข้าด้วยกันจะได้บล็อกไดอะแกรมดังรูปที่ 3.8



รูปที่ 3.8 บล็อกไดอะแกรมของตัวควบคุมตำแหน่งและแรงโดย MATLAB/Simulink ©